

矩形ラーメンの動的弾塑性解析

九州大学工学部 正員 山崎徳也
九州大学工学部 正員 黒木健実

1.序言

はりを剛体とみなしうるラーメンが水平荷重を受ける場合の動的解析は、通常これを多質点系に置換して行なわれる。その際塑性まで考慮すると、弾性と塑性を判別する必要が生じ、ラーメンの動的解析はかなり煩雑となる。

本研究は、かかる煩雑さを排除すべく、柱の復元力特性を双一次型と仮定し、その幾何学的関係に着目して簡単な弾塑性の判別式を導き、矩形ラーメンの応答解析の簡易化を図ったものである。

2.弾性時の基本式

解析を容易にするために、ラーメンを各部材が剛棒で構成され、かつ柱頭柱脚にははりの水平移動を可能なようにすればねじ有するモデルへ変換すると、弾性時はね定数 K が変換前の柱と変換後の柱との歪エネルギーを等置することにより次のようになります。

$$K = \frac{6EI}{h} \quad \text{ただし } EI: \text{柱の曲げ剛性}, h: \text{柱の高さ} \quad (1)$$

いま、塑性時のね定数を K とあれば、ばねの双一次型復元力特性が図-1のようにえられる。ここで $AD \parallel BC \parallel EF$, $FB \parallel EC \parallel R' \text{ 軸}$ で、矢印は $M-R$ 関係の進行方向を示す。

次に図-1を用いて、ばねが弾性状態にある場合、すなむち $M-R$ 関係が AD , BC , EF 上にある場合の基本式を求めることする。

(1)判別式、曲げモーメントおよび塑性部材角

まず、任意時刻 t における $M-R$ 関係が図-2に示すように AD 上にある場合を考えると、幾何学的関係より

$$GG' < AA' \quad (2)$$

が成立する。よってこの式を部材角で表わすことにより判別式

$$|KR(t)(1-\gamma)| < M_p(1-\gamma) \quad (3)$$

がえられ、これが対応するねの曲げモーメントが次式でえられるとなる。

$$M(t) = KR(t) = KR^e(t) \quad (4)$$

ただし $R^e(t)$: 弹性部材角

次に $M-R$ 関係が図-3に示すように BC 上にある場合を考えると、この場合も式(2)が成立するが、その内容は式(3)とは異なり次式となる。

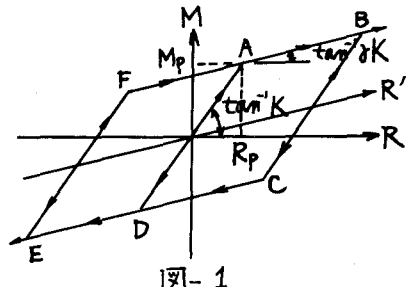


図-1

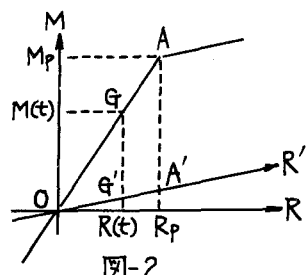


図-2

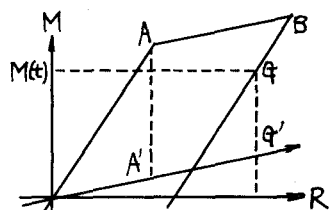


図-3

$$|KR^e(t) - \gamma KR(t)| < M_p(1-\gamma) \quad (5)$$

ここで部材角 $R(t)$ を式(6)のように弾性部材角 $R^e(t)$ と塑性部材角 $R^p(t)$ とに分ける。

$$R(t) = R^e(t) + R^p(t) \quad (6)$$

すなはち塑性部材角が

$$R^p(t) = R^p(t-k) \quad \text{ただし } k: \text{微小時間间隔} \quad (7)$$

で表わされるとことを考慮すると、式(5)は次のようになる。

$$|KR(t)(1-\gamma) - KR^p(t-k)| < M_p(1-\gamma) \quad (8)$$

式(8)が成立するとき、曲げモーメント $M(t) = KR^e(t)$ は式(6), (7)より

$$M(t) = K[R(t) - R^p(t-k)] \quad (9)$$

で与えられる。

式(9), (9)に塑性部材角 $R^p(t-k) = 0$ を代入すると、式(3), (4)がそれぞれえられ、AD上のM-R関係がBC上のM-R関係に包含されることとなる。すなはちM-R関係がEF上にある場合も、BC上にあら場合と同じく式(7), (8), (9)がえられる。

よって式(6)が成立するとき、ばねは弾性状態にある=ヒゲ判別され、曲げモーメントは式(9)で、塑性部材角は式(7)でそれぞれ表わされることがとなる。

(2) 水平変位

次に式(8)の判別式および式(9)の曲げモーメントの演算に必要なはりの水平変位をLagrangeの方程式により求めることがとなる。

i層に集中する重量を W_i , i層の地盤に対する相対速度を \dot{x}_i , 地盤速度を \ddot{x}_i とおくと, m層程度間ラーメンの運動エネルギー T およびポテンシャルエネルギー U がそれぞれ

$$T = \sum_{i=1}^m \frac{1}{2} \cdot \frac{W_i}{g} (\dot{x}_i + \dot{x}_o)^2, \quad U = \sum_{i=1}^m \sum_{j=1}^{n+1} \frac{j M_i^2}{j K_i}$$

と表わされるゆえ、この T , U を Lagrange の方程式に適用すると次の運動方程式がえられる。

$$\frac{W_i}{g} (\ddot{x}_i + \ddot{x}_o) + \sum_{j=1}^{n+1} \left[\frac{2j M_i}{h_i} - \frac{2j M_{i+1}}{h_{i+1}} \right] = Q_i \quad (10)$$

$$\text{よって} \quad \ddot{x}_i(t) = \frac{x_i(t-k) - 2x_i(t) + x_i(t+k)}{k^2}$$

を式(10)に代入し, $x_i(t+k)$ について整理すると、所要の水平変位算定式が次のように求められる。

$$x_i(t+k) = -\frac{g k^2}{W_i} \sum_{j=1}^{n+1} \left[\frac{2j M_i(t)}{h_i} - \frac{2j M_{i+1}(t)}{h_{i+1}} - Q_i(t) \right] + 2x_i(t) - x_i(t-k) - k^2 \ddot{x}_i(t) \quad (11)$$

ただし $j M_i$: i層 j番目の柱の曲げモーメント

3. 塑性時の基本式

(1) 判別式、曲げモーメント および塑性部材角

ばねが弾性状態から塑性状態へ移行すると、ばね定数は $K \rightarrow s$ となり、ばねのM-R関係はFB上ではFからB方向へ、CE上ではCからE方向へのみ移動する。

よって時刻 t におけるM-R関係がFB上の位置にあると仮定すると、1step前の時刻 $t-k$ における

M-R関係は G_2 点上にあることは 図-4 に示すように G_2 点の左側(左夷)

にくる。このとき判別式として

$$G_2 G'_2 \leq H G'_2$$

である

$$M_p(1-\gamma) \leq K R(t)(1-\gamma) - K R^P(t-k) \quad (12)$$

かえられ、曲げモーメントは

$$M(t) = M_p(1-\gamma) + \gamma K R(t) \quad (13)$$

で表わされることとなる。

一方、時刻 $t-k$ から t までの微小時間間に増加した塑性部材角は 図-4 を参照すると

$$\Delta R^P(t-k) = \frac{1-\gamma}{\gamma K} [M(t) - M(t-k)] \quad (14)$$

で与えられるゆえ、時刻 t における塑性部材角は

$$R^P(t) = R^P(t-k) + \Delta R^P(t-k) \quad (15)$$

で求められることとなる。

次に M-R 関係が BC を経て CE 上の G_2 点にあると仮定すると、1 step 前の時刻 $t-k$ における M-R 関係は G_2 点上にあることは 図-5 に示すように G_2 点の右側(右夷)にくる。このときも式(12)が成立するが、その内容は式(13)とは異なり

$$K R(t)(1-\gamma) - K R^P(t-k) \leq -M_p(1-\gamma) \quad (16)$$

で表わされ、式(16)に対応する曲げモーメントは次式で与えられる。

$$M(t) = -M_p(1-\gamma) + \gamma K R(t) \quad (17)$$

一方、塑性部材角の増加量および塑性部材角は、M-R 関係が FB 上にある場合と同様に、それを式(15), (16)で算定されることがある。

(2) 水平変位

弾性状態から塑性状態へ移行したばかりは運動中の系のエネルギーを塑性仕事に消耗し、系に対して部材角に比例する減衰作用を及ぼすゆえ、塑性時の運動方程式の誘導に当たり曲げモーメントを外力とみなしうることとなる。

いま、i 層各番目の柱のみが塑性状態にあると仮定すると、次の運動方程式が与えられる。

$$\frac{W_i}{g} (\ddot{x}_i + \ddot{x}_o) + \sum_{j \neq i}^{n+1} \frac{2M_j}{h_i} - \sum_{j=1}^{n+1} \frac{2jM_{ij}}{h_{ij}} = Q_i - \frac{2gM_i}{h_i}$$

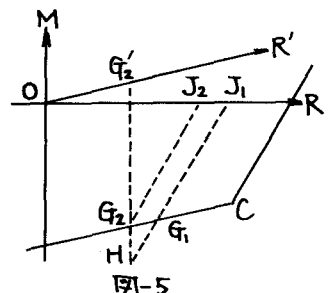
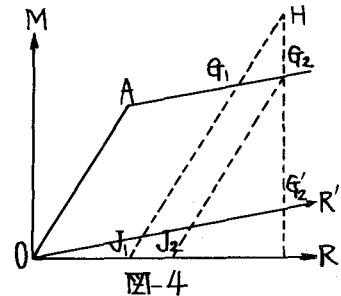
この式は式(10)の弾性時の運動方程式と合致する。したがって塑性時の水平変位は弾性時と同様に式(11)で算定されることがある。

4. 基本式の要約

ここに基本式を要約すると、表-1 のように弾性時、塑性時および両方に共通な式に分類され、時刻 t 以前の状態が判明してみると式(23)より次の時刻 $t+k$ における水平変位が求められることがある。

したがって荷重および初期条件が与えられると、式(10)の運動方程式より $\ddot{x}_i(t)$ が、次のように

$$x_i(t) = x_i(0) + \dot{x}_i(0) + 0.5k^2 \ddot{x}_i(0)$$



が求められ、それ以後は表-1の式(24),(25),(19),(20),(21),(22),(23)の繰返し演算により、逐次曲げモーメント、塑性部材角および水平変位が算出されることがある。

表-1

	弾性時	塑性時	式番	
判別式	$ _j\bar{M}_i(t) < _jM_{ip}(1-\gamma)$	$_j\bar{M}_i(t) \geq _jM_{ip}(1-\gamma)$	$_j\bar{M}_i(t) \leq -_jM_{ip}(1-\gamma)$	19
曲げモーメント	$_jM_i(t) = _j\bar{M}_i(t)$	$_jM_i(t) = _jM_{ip}(1-\gamma) + \gamma_jK_i R_i(t)$	$_jM_i(t) = -_jM_{ip}(1-\gamma) + \gamma_jK_i R_i(t)$	20
塑性部材角の増加量	$\Delta_jR_i^P(t-k) = 0$	$\Delta_jR_i^P(t-k) = \frac{1-\gamma}{\gamma_j K_i} [M_i(t) - M_i(t-k)]$	21	
弾性時・塑性時共通				
塑性部材角	$_jR_i^P(t) = _jR_i^P(t-k) + \Delta_jR_i^P(t-k)$		22	
水平変位	$X_i(t+k) = -\frac{gk^2}{W_i} \sum_{j=1}^{n+1} \left[\frac{2_jM_i(t)}{h_i} - \frac{2_jM_{ip}(t)}{h_{ip}} - Q_i(t) \right] + 2X_i(t) - X_i(t-k) - k^2 \ddot{X}_i(t)$		23	
部材角	$R_i(t) = \frac{X_i(t) - X_i(t-k)}{h_i}$		24	
$_j\bar{M}_i(t)$	$_j\bar{M}_i(t) = _jK_i R_i(t)(1-\gamma) - _jK_{ip}R_i^P(t-k)$		25	

5. 計算例

図-6に示すラーメンに図-7の動的荷重を作用させ、次の諸値を用いて計算を行なう。

$$E = 2.1 \times 10^6 \text{ kg/cm}^2, I = 1.07 \times 10^6 \text{ cm}^4, h = 400 \text{ cm}$$

$$W = 1140.8 \text{ kg} \quad (\text{はりに集中する重量})$$

$$P_0: \text{静的降伏荷重}, \gamma = 0.8, T = 1.0 \text{ sec}$$

結果の一例を図-8に示す。これよりラーメンは、同じ荷重を受ける場合にあっても、塑性時の曲げ剛性の増大に伴い、水平変位および塑性変形量は減少するが、水平変位の振幅は逆に増大するといふが認められる。

6. 結語

本研究は水平荷重を受けるせん断形ラーメンを対象とし、復元力特性を双一次型と仮定して動的解析の簡易化を図ったもので、その特色は弾性時・塑性時の判別がわずか3個の式で完了し、これらを含む基本式が表-1に示すごとく簡明で、そのプログラミングを容易に行なう不実である。

なお、本法ではラーメンをモデル化の際、柱の重量を柱頭・柱脚に2分して取る方法、その通用は柱の重量がはりの重量に比べて十分小さくなることは高次の振動モードを無視しうる場合に限定される。

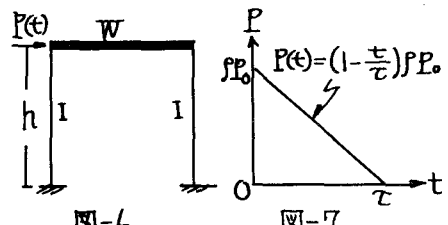


図-6

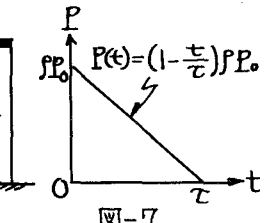


図-7

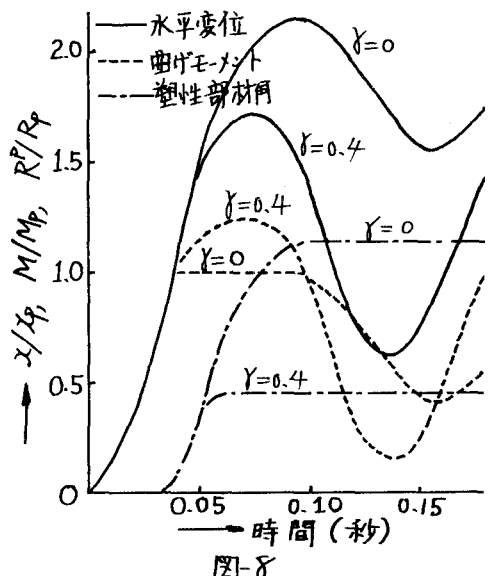


図-8